

Experimentalphysik - Struktur der Materie Teil 2: Kernphysik

1. Was ist das Besondere an Kernphysik?

- Im Atomkern spielen drei der vier elementaren Wechselwirkungen eine wichtige Rolle:
 - elektromagnetische WW
 - schwache WW
 - starke WW

} Quantenelektrodynamik, QED für elektroschwache WW
} QCD Quantenchromodynamik
- Aufgrund der Anzahl der Konstituenten (10-200 Nukleonen) kann man den Atomkern weder mit exakten noch mit statistischen Methoden gut beschreiben.
↳ Mesoskopisches System
- Die Größe des Systems ($\sim 10^{-15}$ m) erfordert sehr komplexe Experimente
- Kernphysik ist auch in den größten Systemen (Sterne) sehr wichtig
↳ „nukleare Astrophysik“

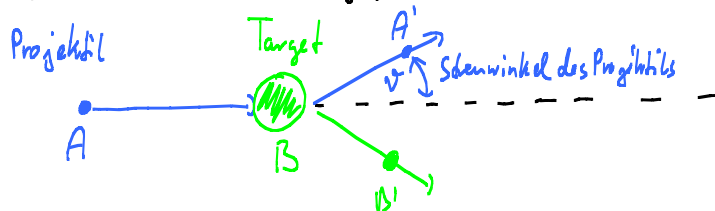
Präsentation: Kernphysik

2. Aufbau und Eigenschaften von Atomkernen

2.1 Die Größe von Atomkernen

Streuung hochenergetischer kleiner Teilchen

2.1.1 Streuprozesse und Wirkungsquerschnitt



„Elastische Streuung“ (keine Reaktion)

$$A + B \rightarrow A' + B' \\ (\epsilon_{A/c}, \vec{p}_A) (0,0) \rightarrow (\epsilon_{A'/c}, \vec{p}_{A'}) (\epsilon_{B'/c}, \vec{p}_{B'})$$

Wie groß ist die Wahrscheinlichkeit, dass A' unter einem Winkel ϑ in ein Raumwinkelelement $d\Omega$ gestreut wird?

↳ Geometrische und WQ-Effekte



(a) Totaler Wirkungsquerschnitt (WQ)

$$\bar{\sigma}_{\text{total}} = \frac{(\text{Ereignisse/sec})}{(\text{Projektile/sec})(\text{Targetstreuzentren/m}^2)} \quad \text{z.B. Projektilstreuung}$$

$$[\bar{\sigma}] \approx \text{m}^2$$

$$10^{-15} \text{ m}^2 \approx 1 \text{ fm}^2 \text{ (fermi, fermometer)}$$

$$10^{-28} \text{ m}^2 \approx 10^{-24} \text{ cm}^2 = 10^2 \text{ fm}^2 \equiv 1 \text{ b} \text{ (Barn)}$$

$$10^{-31} \text{ m}^2 \approx 1 \text{ mb} \text{ (Millibarn)}$$

(b) Differenzierter WQ

$$\left(\frac{d\sigma}{d\Omega} \right)_g = \frac{(\text{Ereignisse im dSL (g) / sec})}{(\text{Projektile/sec})(\text{Targetstreuzentren/m}^2)}$$

- Wie groß sind die Strukturen, die man in Scherexperimenten bestmöglich auflösen kann?

Limit ist die de Broglie-Wellenlänge des Projektils: $\lambda = \frac{\hbar}{|\vec{p}_A|} \equiv \frac{\hbar c}{P_A} \approx 6,58 \cdot 10^{-22} \text{ MeV} \cdot \text{s}$

$$\text{z.B. } P_A = 130 \text{ MeV/c} \rightarrow \lambda = \frac{(\hbar c)}{130 \text{ MeV}} = \frac{197 \text{ MeV} \cdot 8 \text{ fm}}{130 \text{ MeV}} \approx 1,5 \text{ fm}$$

Atomkerne (5 fm) $\rightarrow p \sim 10-100 \text{ MeV/c}$

Protonen/Nendrone (1 fm) $\rightarrow p \sim 150 \text{ MeV/c}$

Quarks (0,1 fm) $\rightarrow p \sim 1,5 \text{ GeV/c}$

Dazu notwendige Energie: $E^2 = p^2 c^2 + (m_0 c^2)^2$

$$\rightarrow E \sim p \cdot c \text{ für } E \gg m_0 c^2$$

2.1.2 Rutherfordstreuung

Annahme zu Beginn des 20. Jhd: (z.B. Thomson - Modell)

Positive Ladung und Masse sind homogen über Atomvolumen ($4 \cdot 10^{-30} \text{ m}^3$) verteilt, darin eingebettet punktförmige Elektronen.

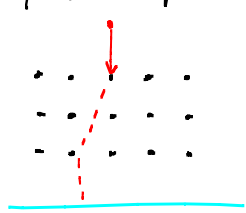
Experiment: Schicke α -Teilchen (${}^{4}\text{He}^{++}$ -Atomkern) durch eine Folie, was würde passieren?

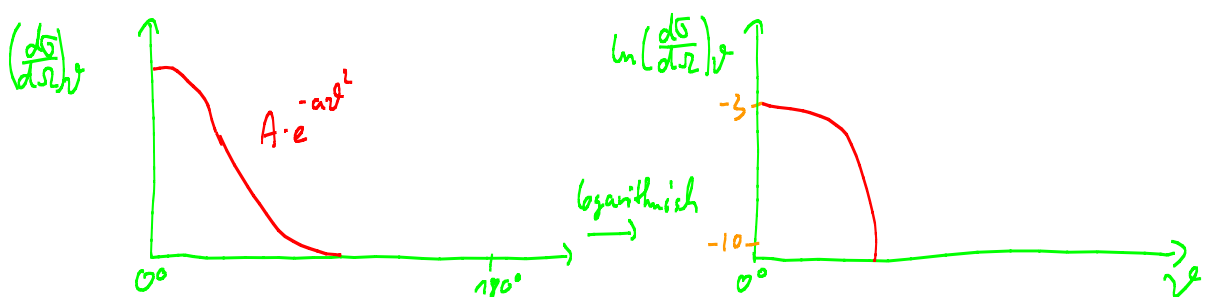
(i) homogene positive Ladung beeinflusst α -Teilchen kaum

(ii) e^- lenken α nur wenig ab, da $m(e^-) \ll m({}^{4}\text{He}^{++})$

\hookrightarrow sehr viele kleine Ablenkungen

\hookrightarrow Groß-Verteilung der gestreuten α -Teilchen um 0°

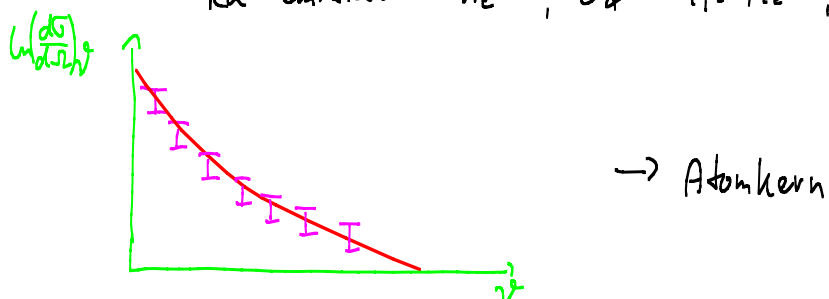




Wenn Thomson-Modell stimmt!

1909: Rutherford, Geiger, Marsden führen Scherexpirmente durch:

^{226}Ra emittiert ${}^4\text{He}^{++}$, $E_\alpha \sim 4,8 \text{ MeV}; 4,6 \text{ MeV}$



Präsentation: Rutherford

Ernest Rutherford (1871-1937)

- Atom enthält positiv geladenen Atomkern der Ladung $(Z \cdot e)$, darin konzentriert sich fast die gesamte Atommasse
- Elastische Streuung eines „leichten“ Projektils ($m(\alpha) = 4, Z(\alpha) = 2$) am festen Coulombpotential eines schweren Targetkerns ($m(A_n) = 197, Z(A_n) = 79$)

$$E_{\text{kin}} = \left(\frac{e^2}{4\pi\epsilon_0 r} \right) \cdot \frac{z^2}{r} = E_{\text{pot}}$$

1,46 MeV fm → Hyperbelbahnen

Es darf nicht zu groß sein, sonst wird auch die starke WW wichtig

$$\left| \left(\frac{d\sigma}{d\Omega} \right)_{\text{Ruth}} = \left(\frac{z^2 e^2}{4\pi\epsilon_0 r} \right)^2 \cdot \left(\frac{1}{4 E_\alpha} \right)^2 \cdot \left(\frac{1}{\sin^4(\theta/2)} \right) \right| , \text{ Rutherford'sche Streuformel} "$$

Abb. 2.1, 2.2, 2.3

- Wie groß ist der Impulsübertrag?

$$|\vec{q}| = \Delta p = |\vec{p}_f - \vec{p}_i| \quad \text{mit} \quad |\vec{p}_f| = |\vec{p}_i| \quad (\text{nur Richtungsänderung})$$

$$\rightarrow |\vec{q}| = 2 \cdot |\vec{p}_i| \cdot \sin \frac{\varphi}{2} = 2 \cdot p_{\text{par}} \sin \frac{\varphi}{2}$$

$$\rightarrow W(Q) \propto \frac{1}{|\vec{q}|^4}$$

2.1.3 Anfang des Atomkerns

Atomkern besteht aus A Nukleonen.

$$Z \text{ Protonen}, m(p) = 938,27 \frac{\text{MeV}}{c^2}$$

$$N \text{ Neutronen}, m(n) = 539,57 \frac{\text{MeV}}{c^2}$$

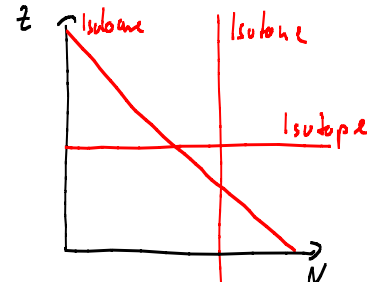
Periodensystem der Kernphysik

↳ Chadwick (1932)

Isotope: $Z = \text{const}$

Isotone: $N = \text{const}$

Isobare: $A = \text{const}$



2.1.4 Mott-Schierung und Formfaktor

Schierung von Elektronen (e^-) am Kern

→ keine Coulomb-WW, d.h. man misst die Ladungsverteilung $S(r)$ des Atomkerns

↳ Elektron hat Eigendrehimpuls / Spin $\vec{s} \neq 0$ im Gegensatz zu α -Teilchen

→ Mott-Wirkungsquerschnitt $\beta = \frac{1}{c}$

$$\left(\frac{d\sigma}{d\Omega} \right)_{\text{Mott}} = \left(\frac{d\sigma}{d\Omega} \right)_{\text{Rutherford}} \cdot \left(1 - \beta^2 \sin^2 \left(\frac{\theta}{2} \right) \right)$$

(Erhaltung der Helizität
→ weniger Schierung unter großen Winkeln)

o Bisher: Schierung an punktförmigen Target

Mietot: Schierung an ausgedehnter Ladungsverteilung

Optik: Laser auf Lochblende



1. Minimum bei $\sin \theta = 1,22 \frac{2}{\lambda}$

Wellenlänge Laser

Durchmesser Scheibe

○ ○ ○ Interferenzmuster

$$\text{Man misst: } \left(\frac{d\sigma}{d\Omega} \right)_{\text{exp}} = \left(\frac{d\sigma}{d\Omega} \right)_{\text{Mott}} \cdot \underbrace{\left| F(q^2) \right|^2}_{\text{Geometrie des Targetkerns}}$$

Geometrie des Targetkerns

$$F(q^2) = \text{Formfaktor} \quad \text{mit} \quad \vec{q} = \vec{p}_2 - \vec{p}_1$$

(Da e^- punktförmig ist ($< 10^{-18} \text{ m}$) muss man seine Ausdehnung nicht beachten)

Messung $\left(\frac{d\sigma}{d\Omega} \right)_{\text{exp}}$ in Abhängigkeit vom Streuwinkel ϑ oder Impulsübertrag q^2

• Zusammenhang zwischen Formfaktor $F(q^2)$ und der Ladungsverteilung $S(r) \propto Ze |\Psi_p(r)|^2$

$F(q^2)$ ist die Fouriertransformierte von $S(r)$:

Aufenthaltswahrscheinlichkeit
Proton

$$\bar{F}(q^2) = \frac{1}{2\pi} \cdot \int d^3r \cdot S(r) \cdot \exp\left(\frac{1}{\hbar} \cdot \vec{q} \cdot \vec{r}\right)$$

$$\hookrightarrow S(r) = \frac{2e}{(2\pi)^3} \int d^3q \bar{F}(q^2) \cdot \exp\left(-\frac{i}{\hbar} \vec{q} \cdot \vec{r}\right)$$

Probleme: 1.) Man misst $\bar{F}(q^2)$ nur über begrenzten q -Bereich

2.) $\left(\frac{dS}{dr}\right)_{\text{exp}} (q \rightarrow \infty)$ ist sehr klein $\left(\frac{1}{q^4}\right)$

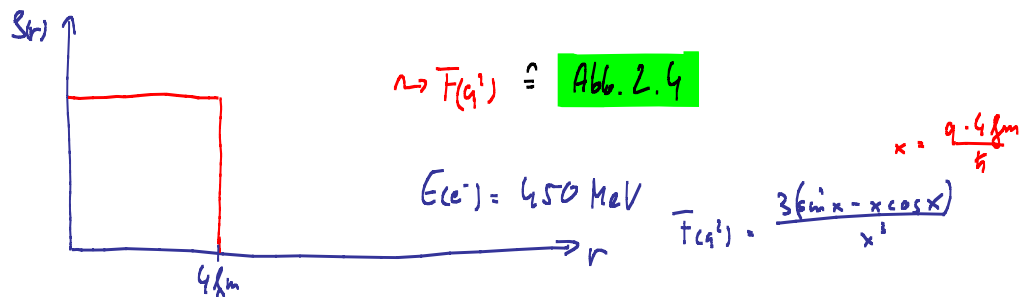
\hookrightarrow iteratives Verfahren

$\boxed{\hookrightarrow \text{Nehme } S(r) \text{ an} \rightarrow \text{berechne } \bar{F}(q^2)}$

a) $q \rightarrow 0 \quad \hookrightarrow \bar{F}(q^2) \rightarrow 1$

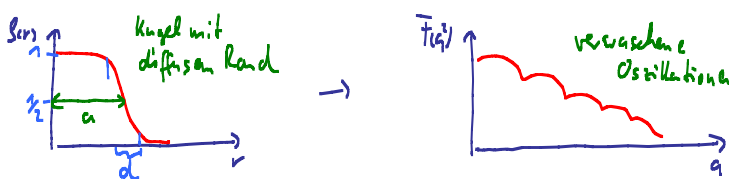
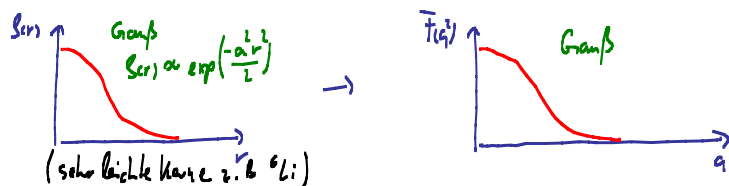
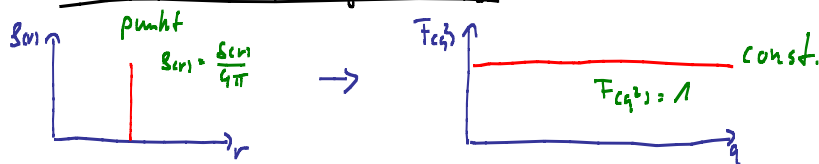
Bei niedrigen Impulsüberträgen verhält sich der Targetkern wie ein Punktteilchen.

b) $q = 0 \quad \hookrightarrow \bar{F}(q^2) < 1$



Abbl. 2.5

Verschiedene Ladungsverteilungen



$$S(r) = \frac{S_0}{1 + \exp\left(\frac{r-a}{d}\right)}$$

"Fermi-Verteilung"

$a \hat{=} \text{Radius der halben Dichte}$

$d \hat{=} \text{Dickenparameter}$

$$0,63 S_0 - 0,38 S_0$$

$$d' \hat{=} \text{Oberflächendicke} = 4,39 d, 0,9 S_0 - 0,1 S_0$$

Abbl. 2.6

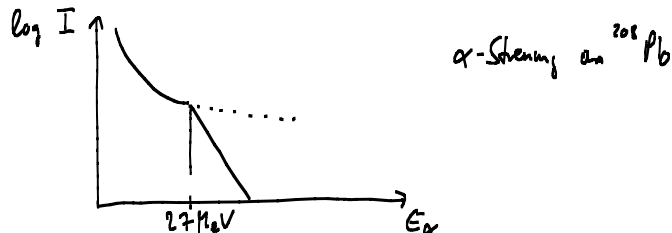
$$a = 1,18 \text{ fm } A^{2/3} - 0,48 \text{ fm}$$

$$d' = 2,4 \text{ fm}$$

z.B. ${}^{40}\text{Ca}$ $A = 40 \Rightarrow a = 3,6 \text{ fm}$

$$S_{\text{Nukleon}} \sim \frac{40}{\frac{4}{3}\pi a^3} \sim 0,2 \frac{\text{Nukleonen}}{\text{fm}^3}$$

- Was ist mit Massenverteilung im Kern?



$$d = \frac{2^2 e^2}{4\pi \epsilon_0} \frac{1}{E_\alpha} \approx 8,8 \text{ fm}$$

$$r_s({}^4\text{He}) \sim 1,7 \text{ fm} \quad r_s({}^{208}\text{Pb}) \sim 6 \text{ fm}$$

- Neutronenstreuung (nur starke WW)

Problem: Starke WW nicht so gut bekannt

\Rightarrow Komplexe Modellannahmen notwendig

\Rightarrow Massenverteilung sehr ähnlich der Ladungsverteilung für stabile Kerne

$$a \sim 1,2 \text{ fm } A^{2/3}$$

$$d' \sim 3,2 \text{ fm}$$

- Abweichungen $S_p \leftrightarrow S_n$

- Skin in Ca-Isotopen (minimal) // Neutronenhaut

- Skin in exotischen Systemen

- Halo Kerne

- ${}^{11}\text{Li}$

- ${}^{10}\text{Li}$ ungebunden

- Boromäisches System

- Ansdehnung ${}^{11}\text{Li} \approx {}^{208}\text{Pb}$

- Abweichungen von Kugelgestalt \Rightarrow später

2.2 Masse von Atomkernen

- Warum wichtig?

Stabilität von Kernen, Dripline, Spaltung, Fusion

- Warum schwierig?

Energie wird frei, wenn 2 Nukleonen verschmelzen

$$\text{Kernmasse: } m(Z, A) = m_p Z + m_n N - \frac{B_c}{c^2}$$

B_c = Energie um Kern in Nukleonen zu zerlegen „Massendefekt“

2.2.1 Das Tröpfchenmodell - C.F. Weizsäckersche Massenformel (1935)

Fluidropfen: - Versucht die Energie zu minimieren (Oberflächenspannung)

→ Kugelform mit Radius R

- inkompressibel d.h. $\rho_{\text{res}} = \text{const.}$

(a) Volumenenergie „Kondensationsenergie“

$$V = \frac{4}{3} \pi R^3$$

$$R \sim A^{1/3}$$

$$B_V = a_V A$$

Starke WL ist kurzreichweilig, d.h. WL nur mit nächsten Nachbarn, sonst $A \cdot (A-1)$ -Abhängigkeit.



(b) Oberflächenenergie

Nukleonen an der Oberfläche sind weniger stark gebunden

$$S = 4\pi R^2 = 4\pi (1,2 f_m A^{2/3})^2$$

$$\Rightarrow B_S = -a_S A^{2/3}$$

(c) Coulombenergie



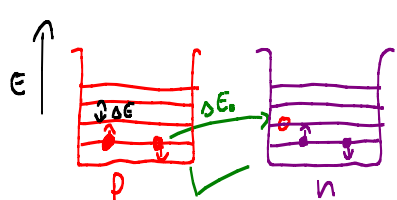
$$Z(Z-1) \propto Z^2$$

Protonen stoßen sich ab

$$E_C = \frac{3}{5} \frac{q^2}{R} \quad R \sim 1,2 f_m A^{2/3}$$

$$\Rightarrow B_C = -a_C Z^2 A^{-1/3}$$

(d) Asymmetrie-Energie



Pauli-Prinzip
in Potentialtröpfchen (für Fermionen, d.h. Spin=halbzahlig)

Potential der starken WL, gleiche Höhe, da Coulomb schon in B_C

• Optimal: $Z = N$

• Wenn: $\begin{cases} N \rightarrow N+n \\ Z \rightarrow Z-n \end{cases}$ } letztes Neutron sitzt um eine Energie ΔG höher

$\frac{(N-Z)}{2}$	ΔE	$\sum \Delta E / \Delta E_0$	$\frac{(N-Z)^2}{8}$
1	$1 \cdot \Delta E_0$	1	0,5
2	$1 \cdot \Delta E_0$	2	2
3	$3 \cdot \Delta E_0$	5	4,5
4	$3 \cdot \Delta E_0$	8	16,5
5	$5 \cdot \Delta E_0$	13	25,5
6	$5 \cdot \Delta E_0$	18	38

$\rightarrow E$ wächst quadratisch mit $(N-Z)^2 \cdot \Delta E_0$

$$\Delta E_0 \propto \frac{1}{V} \propto \frac{1}{A} \quad (\text{im Potentialtopf})$$

$$\rightarrow B_p = -a_A^{-1} \cdot \frac{(Z-N)^2}{A} = -a_A^{-1} \cdot \frac{(Z-(A-Z))^2}{A}$$

$$= -a_A^{-1} \cdot \frac{(Z-\frac{A}{2})^2}{A}$$

② Paarungsentnergie

Abb. 3.1

Experimentelle Beobachtung

Z gerade, N gerade (gg , even-even) $\rightarrow B_p = +\delta$

Z gerade, N ungerade (gu , even-odd) $\rightarrow B_p = 0$

Z ungerade, N gerade (ug , odd-even) $\rightarrow B_p = 0$

Z ungerade, N ungerade (uu , odd-odd) $\rightarrow B_p = -\delta$

$$\delta = a_p / A^{1/2}$$

$$\rightarrow B = a_V \cdot A - a_S A^{2/3} - a_C Z^2 A^{-1/3} - a_A (Z - \beta_2)^2 A^{-1} = \begin{cases} a_p A^{-1/2} \\ 0 \end{cases}$$

Für am Daten ergibt: $B ({}^{114}_{50} \text{Sn}_{64})$

$$a_V = 15,85 \text{ MeV} \quad 1807 \text{ MeV}$$

$$a_S = 18,34 \text{ MeV} \quad -431 \text{ MeV}$$

$$a_C = 0,71 \text{ MeV} \quad -366 \text{ MeV}$$

$$a_A = 92,86 \text{ MeV} \quad -40 \text{ MeV}$$

$$a_p = 11,46 \text{ MeV} \quad +1,1 \text{ MeV}$$

$$971 \text{ MeV}$$

$$\rightarrow m({}^{114}\text{Sn}) = (50 \cdot (938,27) + 64 \cdot (939,57) - 971) \frac{\text{MeV}}{c^2} =$$

$$= (102047 - 971) \frac{\text{MeV}}{c^2} = 106076 \frac{\text{MeV}}{c^2}$$

$$\beta (^{114}\text{Sn})_{\text{exp}} = 921,582 \pm 0,003 \text{ MeV}$$

$$m (^{114}\text{Sn})_{\text{exp}} = 106,075 \pm 0,003 \text{ GeV/c}^2$$

Abb. 3.2

$$\beta_A (^{114}\text{Sn}) \sim 8,5 \text{ MeV}$$

Abb. 3.3

- Was kann man aus Massen ableiten?

1.) Stabilität von Kernen

Isobare, $A = \text{const.}$

β -Zerfall: Umwandlung $N \rightarrow Z$ möglich: $m(\text{vorher}) > m(\text{nachher})$

$$(i) A = \text{ungerade} \quad \sim \beta_p = 0$$

$$m(Z) = m_0 + a_s Z^2 A^{-1/3} + a_p (Z - \frac{A}{2})^2 / A$$

$$\left(\frac{\delta m}{\delta Z} \right)_A = 0 \quad \sim \text{Minimum}$$

Abb. 3.4

2.) Spaltung und Fusion

Erhöhung von $\beta/A \rightarrow$ Freisetzung von Energie



$$\beta_A : 8,03 \text{ MeV} \quad 8,41 \text{ MeV} \quad 8,69 \text{ MeV}$$

$$\rightarrow \text{pro Spaltung werden } \Delta E = 128 (841 \text{ MeV} - 8,03 \text{ MeV}) + 5 (8,69 \text{ MeV} - 8,03 \text{ MeV}) \\ = 83 \text{ MeV}$$

$$\rightarrow 180 \text{ g } ^{180}\text{Hf} \hat{=} 6 \cdot 10^{23} \text{ Spaltungen}$$

$$\Delta E = 8 \cdot 10^{12} \text{ J} \hat{=} 2200 \text{ kWh} (\sim 2,2 \text{ Mio. Std. Stromsangen})$$

$$1 \text{ Jahr} \hat{=} \pi \cdot 10^7 \text{ sec}$$

$$\hbar c \hat{=} 197 \text{ MeV} \cdot \text{fm}$$

$$\frac{e^2}{4\pi\epsilon_0} \hat{=} 1,44 \text{ MeV} \cdot \text{fm}$$

2.3 Kernspin und Parität

① Kernspin $\hat{=}$ Gesamtdrehimpuls des Atomkerns

$$\hat{I} = \sum_{i=1}^A (\hat{l}_i + \hat{s}_i) = \hat{L} + \hat{S} = \sum_{i=1}^A \hat{j}_i$$

$$\hookrightarrow s_{(p)} = s_{(n)} = \frac{\hbar}{2}$$

$$|\hat{I}| = \sqrt{I(I+n)} \cdot \hbar \quad \text{Quantenzahl } I$$

Grundzustand des Korns

$$\textcircled{a} \quad I_0(\text{gg}) = 0 \quad \uparrow \downarrow \quad jj\text{-Paar}$$

$$\textcircled{b} \quad I_0(\text{ng/gu}) = \underbrace{I_0(A-1)}_{gg} + j_A^+ = 0 + j_A^+ = \frac{1}{2}, \frac{3}{2}, \frac{5}{2}, \dots$$

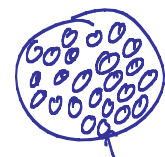
Letztes Nukleon

$$\textcircled{c} \quad I_0(\text{uu}) = \underbrace{I_0(A-2)}_{gg} + |j_p^+ - j_u^+| = 0 + |j_p^+ - j_u^+| = 0, 1, 2, \dots$$

② Parität

$$\psi_{(-r)} = \hat{p} \cdot \psi_{(r)} = \overline{\pi} \cdot \psi_{(r)}$$

Wellenfkt. $\overline{\pi}^L = 1 \rightarrow \overline{\pi} = \pm 1$



$$\psi_{(r)}^2 \propto S(r)$$

$$\textcircled{d} \quad \text{gg-kerne, } L=0 \rightarrow \overline{\pi} = +1$$

Bahndrehimpuls

$$\rightarrow \text{Grundzustand} \quad I_0^{+} = 0^+$$

\textcircled{e} Sonst bestimmen die Bahndrehimpulse der unpaarten Nukleone die Parität.

$$\overline{\pi} = +1 \text{ für } l = 0, 2, 4, \dots \quad \overline{\pi} = -1 \text{ für } l = 1, 3, 5, \dots$$

z.B. $I_0^{+} = \frac{3}{2}^- \sim l = 3$

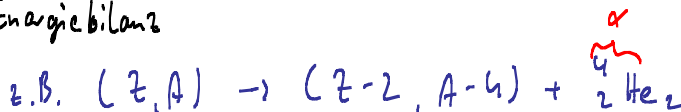
$$\begin{array}{c} \uparrow \\ s = \frac{1}{2} \end{array}$$

3. Kernzerfälle

Wann sind spontane Zerfälle magnetisch möglich?

① Zerfälle mit Kernumwandlung (α , β , Spaltung, $n, p, {}^{12}\text{C}, \dots$)

- Energiebilanz



$$Q = [m(Z, A) - m(Z-2, A-4) - m({}^4_2\text{He}_2)] \cdot c^2 = \sum E_{kin}$$

„Q-Wert des Zerfalls / der Reaktion“

$Q > 0 : \rightarrow$ Zerfall prinzipiell möglich

„spontaner Zerfall“

(z.B. α -Zerfall \rightarrow Weizsäcker $A \approx 150$)

- Man muss evtl. die Klasse neu produzierter Teilchen mit berücksichtigen

② Zerfall innerhalb des Korns (γ , Konversion)

0

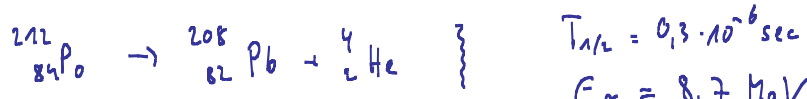
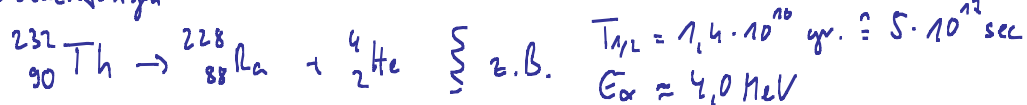
$$\begin{array}{ccc} E_1 & \xrightarrow{\text{Fermi}} & 2^+ \\ \downarrow & & \\ E_0 & \xrightarrow{\text{Grundzustand}} & 0^+ \end{array}$$

$\Delta E = E_1 - E_0 > 0$

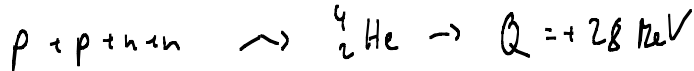
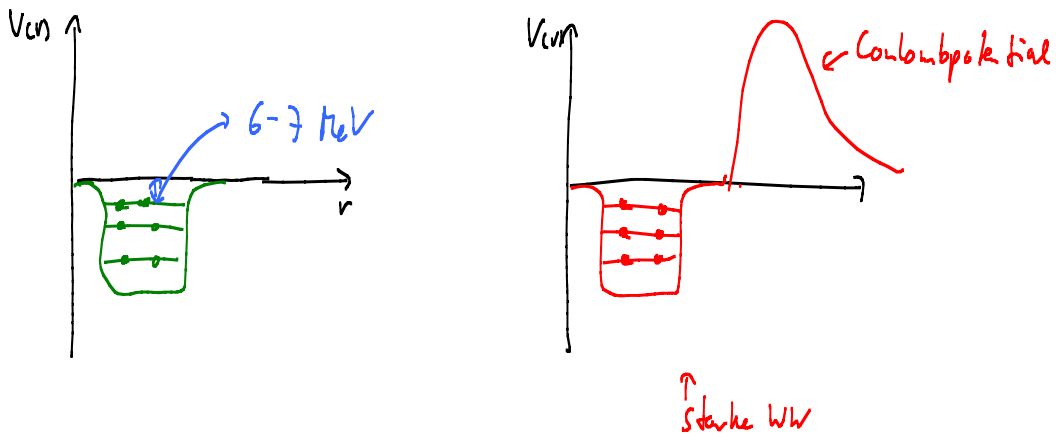
↑ typisch 1 MeV

3.1 Alpha-Zerfall (Rutherford 1903)

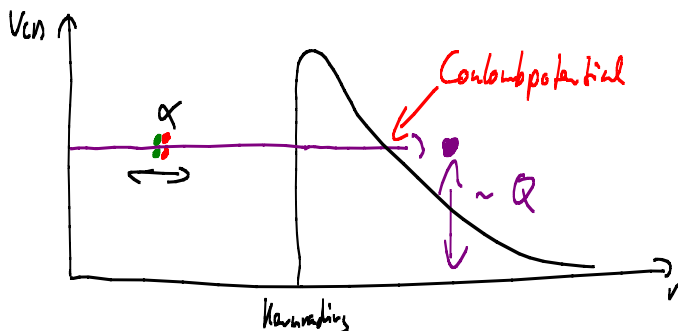
Exp. Beobachtungen



- Was passiert im Kern?



- Formation eines α -Teilchen im Kern



2.) ^4_2He muss auf dem Coulombwall am Kernrand deffen $\rightarrow \sim 10^{26} \frac{\text{mal}}{\text{sec}}$

3.) ^4_2He muss durch Coulombbarriere tunneln, das hängt von E_α und V_{coulomb} ab.

$$\text{Tunnelwahrscheinlichkeit, } P_{\text{Tunnel}} \propto e^{-2K \cdot d} \quad d \in \text{Dicke der Barriere} \\ K = \sqrt{2m(\alpha) \cdot [V(R) - E_\alpha] / \hbar^2}$$

Diese Tunnelwahrscheinlichkeit dominiert. i.A. die Halbwertszeit des α -Zerfalls.

Abb. 4.1, 4.2

Greiner - Nussall - Regel

α -Strahler



Reichweite E_α

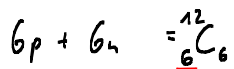
// Prof des Tunnelus.

$$A > 150 \rightarrow Q > 0$$

Abb. 4.3

seltener α -Zerfall

- Cluster-Radioaktivität



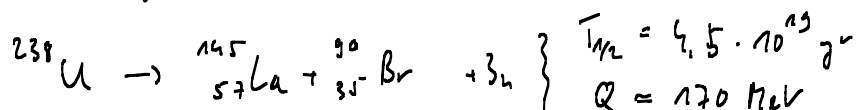
$V(r)$ ist höher und m_{cluster} ist größer
 → sehr unwahrscheinlich

Abb. 4.5 gelb → α -Zerfall , schwarz → stabil , grün (sf) → spontane Spaltung

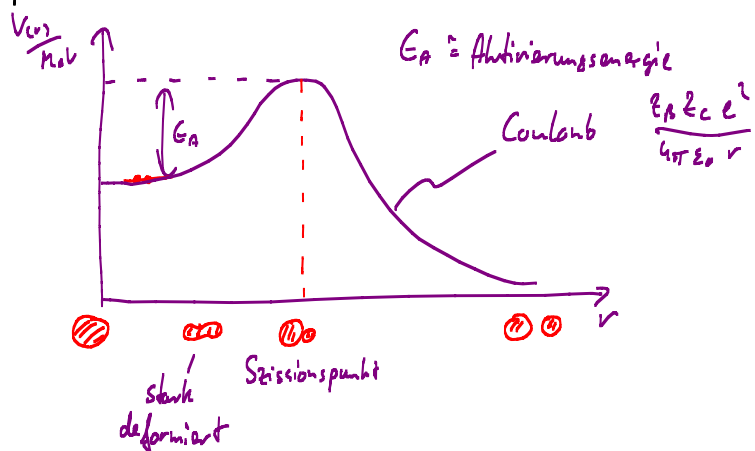
Abb. 4.6 α -Zerfall aus angeregten Zuständen SPÄTER

3.2. Spontane Spaltung

- Exp. Beobachtung 1938 Otto Hahn, Friedrich Strassmann, Lise Meitner



- Was passiert im Kern $A = B+C$



Starke Deformabilität → größere Oberfläche (großer Effekt), etwas kleinere Coulombenergie

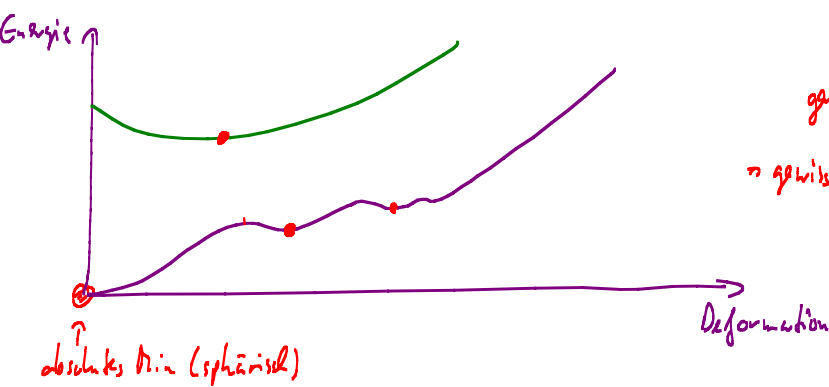
\Rightarrow BE wird kleiner → Käse wird größer

$$\text{BE} = B_V + B_S + B_{\text{Coul}} \dots$$

$$H = m_n \cdot N + m_p \cdot Z - \text{BE}$$

Energie wird frei

Beispiel



gering Energie ansteigt und

→ gewisse WS für Rohkäse Nukima

3.3. Beta-Zerfall

- Exp. Beobachtung:

Manche Kerne emittieren ein kontinuierliches Elektronenspektrum

→ Energieerhaltung verletzt?

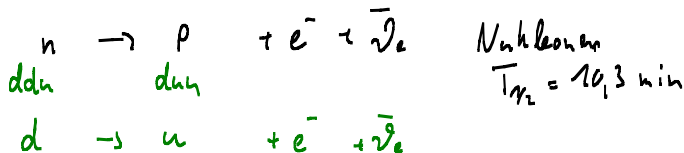
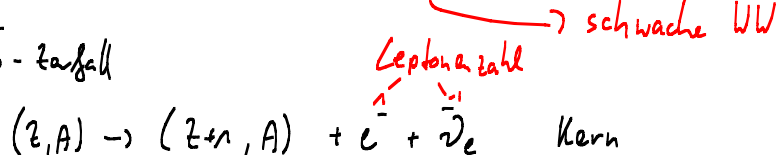
→ Drehimpulserhaltung verletzt?

↗ Mandels Teilchen als dritter Stoßparameter → Mandelstahlhypothese (Pioniere 1931)



1900-1958
↓
1945 Nobelpreis

② β^- -Zerfall



Q-Wert:

$$Q_\beta = \underbrace{[m(z, A) - m(z+n, A)]}_{\text{Kernmassen}} - [m(e^-) - m(\bar{\nu}_e)] \cdot c^2$$

hier kann zeigen:
 $m(\bar{\nu}_e) \ll m(e^-)$

→ Tabelliert sind i. A. die Massen der neutralen Atome

→ Konvertieren nach Atommassen

$$\rightarrow m_{At}(z, A) = m(z, A) + z \cdot m(e^-) - \sum_{i=n}^z B_i$$

Bindungsenergie aller Elektronen

$$\rightarrow Q_\beta = \left\{ [m_{At}(z, A) - z \cdot m(e^-)] - [m_{At}(z+n, A) - (z+n) \cdot m(e^-)] - [m(\bar{\nu}_e)] \right\} c^2$$

$$\approx [m_{At}(z, A) - m_{At}(z+1, A)] c^2$$

$$= E_{kin}(e^-) + E_{kin}(\bar{\nu}_e) + (\text{Anregungsenergie Tochterkern})$$

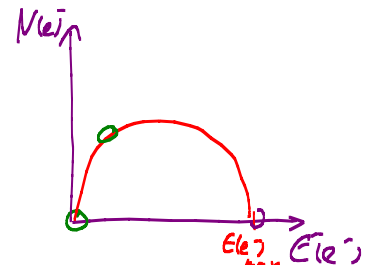
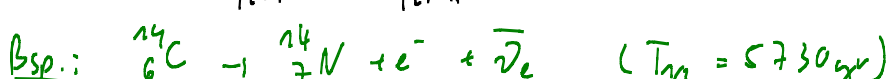
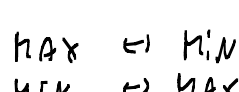


Abb. 4.6

$$m_{\text{At}}(^{14}_6 \text{C}) = 14n + \Delta(^{14}_6 \text{C})$$

Massendefekt

$$\gamma_u = \frac{1}{12} m_{\text{At}}(^{12}_6 \text{C}) = 931,454 \frac{\text{MeV}}{c^2}$$

$$\Delta(^{14}_6 \text{C}) = 3019 \frac{\text{MeV}}{c^2} \approx 3,02 \frac{\text{MeV}}{c^2}$$

$$m_{\text{At}}(^{14}_7 \text{N}) = 14n + \Delta(^{14}_7 \text{N})$$

$$\Delta(^{14}_7 \text{N}) = 2863 \frac{\text{MeV}}{c^2} \approx 2,86 \frac{\text{MeV}}{c^2}$$

$$\Rightarrow Q_{\beta^-} = (3,02 \frac{\text{MeV}}{c^2} - 2,86 \frac{\text{MeV}}{c^2})c^2 = 0,16 \text{ MeV}$$

⑥ β^+ -Zerfall

Antikörper von Elektronen

$$(Z, A) \rightarrow (Z-1, A) + e^+ + \bar{\nu}_e$$

$$\begin{array}{ccccccc} p & \rightarrow & n & + & e^+ & + & \bar{\nu}_e \\ u & & d & + & e^+ & + & \bar{\nu}_e \end{array} \quad (\text{findet mit freien Protonen nicht statt})$$

$$Q_{\beta^+} = [m(Z, A) - m(Z-1, A) - m(e^+) - m(\bar{\nu}_e)] \cdot c^2$$

$$\Rightarrow Q_{\beta^+} = \{ [m_{\text{At}}(Z, A) - Z m(e^-)] - [m_{\text{At}}(Z-1, A) - (Z-1) m(e^-)] - m(e^+) \} \cdot c^2 + \beta_i$$

$$= [m_{\text{At}}(Z, A) - m_{\text{At}}(Z-1, A) - m(e^-) - m(e^+)] \cdot c^2$$

$$= \{m_{\text{At}}(Z, A) - m_{\text{At}}(Z-1, A)\} \cdot c^2 - 1,022 \text{ MeV}$$

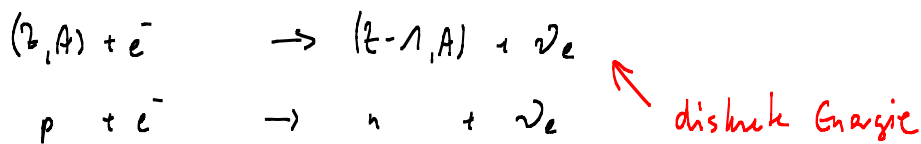
$$\text{da } m(e^-) = m(e^+) = 0,511 \frac{\text{MeV}}{c^2}$$

\Rightarrow Die Masse des Muonatoms muss mindestens 1,022 MeV/c² größer sein als die des Tochteratoms, damit $Q_{\beta^+} \geq 0$ wird.

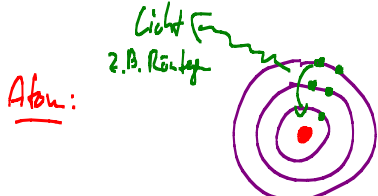
$$\text{Bsp.: } ^{13}_7 \text{N} \rightarrow ^{13}_6 \text{C} + e^+ + \bar{\nu}_e \quad (T_{1/2} = 9,9 \text{ min})$$

$$\left. \begin{array}{l} \Delta(^{13}_7 \text{N}) = 5134 \text{ MeV} \\ \Delta(^{13}_6 \text{C}) = 3,12 \text{ MeV} \\ 2m(e^-) = 1,022 \text{ MeV} \end{array} \right\} Q_{\beta^+} = 1,2 \text{ MeV}$$

⑦ Elektroneneinfang, n-Einfang ("EC", "E")



schwache W



Ablau:

z.B. Röntgen

$$Q_E = [m_{\text{At}}(Z, A) - m_{\text{At}}(Z-1, A)] - B_n(e^-)$$

$B_n(e^-) \approx$ Bindungsenergie der N-Gebilde, typisch einigen keV

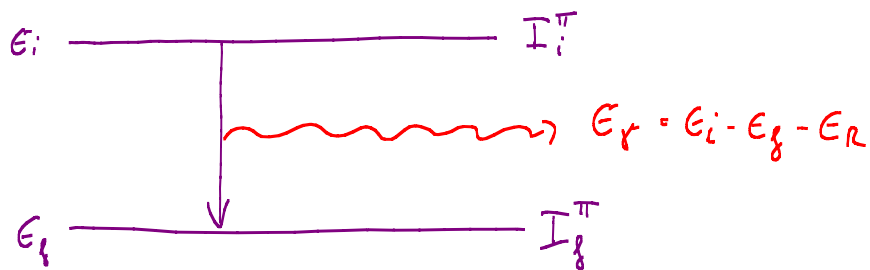
\rightarrow geht auch bei kleinerer Massendifferenz



$$\left. \begin{array}{l} Q({}^{41}\text{Ca}) = -35,137 \text{ keV} \\ Q({}^{41}\text{K}) = -35,555 \text{ keV} \\ B_n(e^-) = 0,004 \text{ keV} \end{array} \right\} \begin{array}{l} Q_E = 0,43 \text{ keV} \\ \beta^+ \text{ wäre hier nicht erlaubt!} \end{array}$$

(kosmogene Nuklide
Wölbungsstrahlung driftet auf stabile Isotope \rightarrow radioaktives Isotop)

3.4 Gamma-Zerfall (GM-Strahlung)



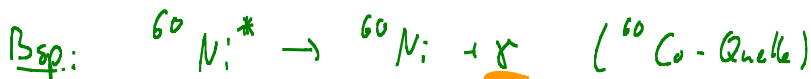
E_R = Rückstoß auf Kern

$$\vec{p}_R = -\vec{p}_\gamma \quad (\vec{p}_R + \vec{p}_\gamma \stackrel{!}{=} 0 = \vec{p}')$$

$$\Rightarrow E_R = \frac{p_R^2}{2m} = \frac{p_\gamma^2}{2m} = \frac{G_\gamma}{2mc^2} \underset{G_R \ll G_\gamma}{\approx} \frac{(E_i - E_f)^2}{2mc^2}$$

$p_\gamma = \frac{E_\gamma}{c}$ 1 Photon

$$\Rightarrow E_\gamma = (E_i - E_f) - \frac{(E_i - E_f)^2}{2mc^2}$$



$$E_i = 1,332 \text{ keV} \quad E_f = 0 \text{ keV}$$

$$n = 60 \cdot n \cdot \Delta({}^{60}\text{Ni}) \approx 60 \cdot n = 60 \cdot 931 \frac{\text{keV}}{c^2} \approx 5,6 \cdot 10^4 \frac{\text{keV}}{c^2}$$

$$\Rightarrow E_\gamma = 1,332 \text{ keV} - \frac{(1,332 \text{ keV})^2}{2 \cdot 5,6 \cdot 10^4 \frac{\text{keV}}{c^2}} = 1,332 \text{ keV} - 27 \text{ eV} \approx E_i - E_f$$

Multipolentwicklung des Strahlungsfeldes

- Elektrische Dipolstrahlung, $l=1$, $E1$

- Magnetische Dipolstrahlung, $l=1$, $M1$

- Quadrupolstrahlung, $l=2$, $E2$ oder $M2$

Orbitalschaltung, $\ell = 3$, E3 oder M3

$$\frac{I_i}{\downarrow} \quad |I_i - I_f| \leq \ell \leq |I_i + I_f|$$

$$I_f$$

Bsp.: ② $1^- \rightarrow 0^+$: $\ell = 1 \Rightarrow$ Dipolschaltung

$$\begin{array}{c} \{ \\ I_i \\ \} \\ \{ \\ I_f \\ \} \end{array}$$

$$\text{Elektrisch: } \Pi_f = -1^e \Pi_i \quad \text{Magnetisch: } \overline{\Pi}_f = -1^{e-1} \overline{\Pi}_i$$

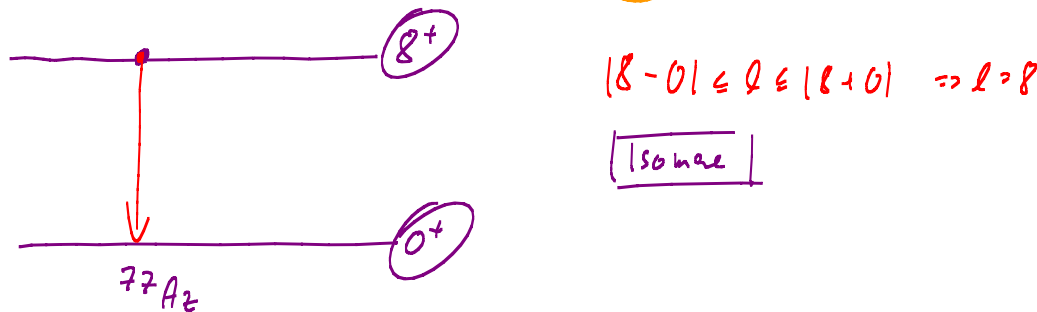
\rightsquigarrow E1-Schaltung

③ $1^+ \rightarrow 0^+$: M1

④ $2^+ \rightarrow 2^+$: $|2-2| \leq \ell \leq |2+2| \quad \ell = \cancel{1, 2, 3, 4}$

M1, G2, M3, G4

⑤ $4^+ \rightarrow 2^+$: $\ell = 2 \dots 6 \rightsquigarrow$ E2, M3, G4, M5 ...



• lineare Konversion

Angeregter Kern kann Energie auch direkt auf Hüllenelektronen übertragen.

$$E(e^-) = E_\gamma - B(e^-)$$

$\stackrel{\text{Bindungsenergie des } e^-}{\substack{\text{K, L, N, ...}}}$

- alternativ zum γ -Zerfall
- (- auch bei $0 \rightarrow 0$ möglich)
- Besonders wichtig
 - kleine Energie E_γ
 - große Kernladungen Z
 - große Multipolordnung (Drehimpulsmitnahme)

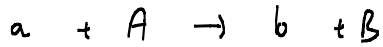
Konversionskoeffizient: Zerfallswahrscheinlichkeit

$$\alpha = \frac{\omega(e^-)}{\omega(\gamma)}$$

Abb. 4.5

4. Kernreaktionen und Beschleuniger

4.1 Kernreaktionen

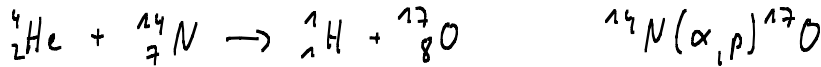


a = Projektile b = leichtes Endprodukt

A = Target B = schwerstes Endprodukt

$$A(a, b) B$$

Bsp.: (Rutherford 1919)



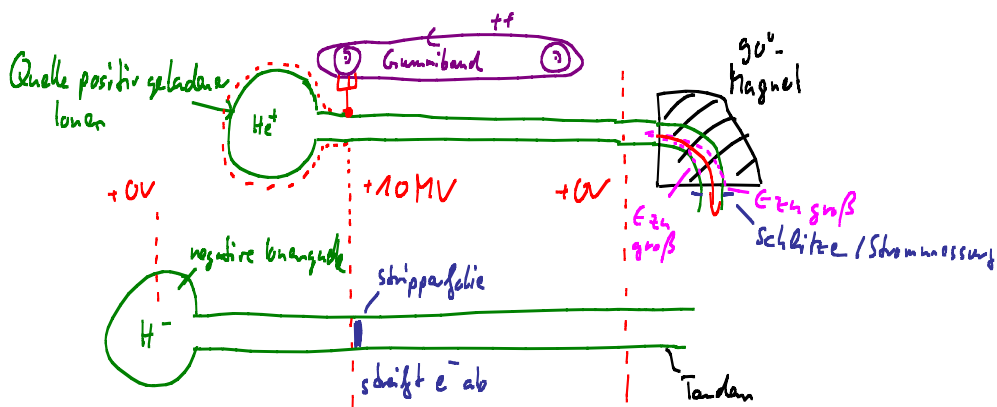
(• Neutronenauftang: $^{115}\text{In}(n, \gamma)^{116}\text{In}$)

→ Man wünscht sich eine Quelle hochenergetischer Ionen mit variabler Energie → Beschleuniger

4.2 Beschleuniger

(a) Elektrostatischer Beschleuniger

Van de Graaf / Tandem Van de Graaf



Bsp.: (i) van de Graaf

$^{16}\text{O}^{+1}$ in Quelle $\rightarrow E_{\text{kin}}(^{16}\text{O}^{+1}) = 10\text{ MV} \cdot 2 \cdot e = 20\text{ MeV}$ am Experiment

(ii) Tandem van de Graaf

$^{16}\text{O}^{-}$ in Quelle $\rightarrow E_{\text{kin}}(^{16}\text{O}^{-})$ am Strippfolie $= 10\text{ MV} \cdot 1 \cdot e = 10\text{ MeV}$

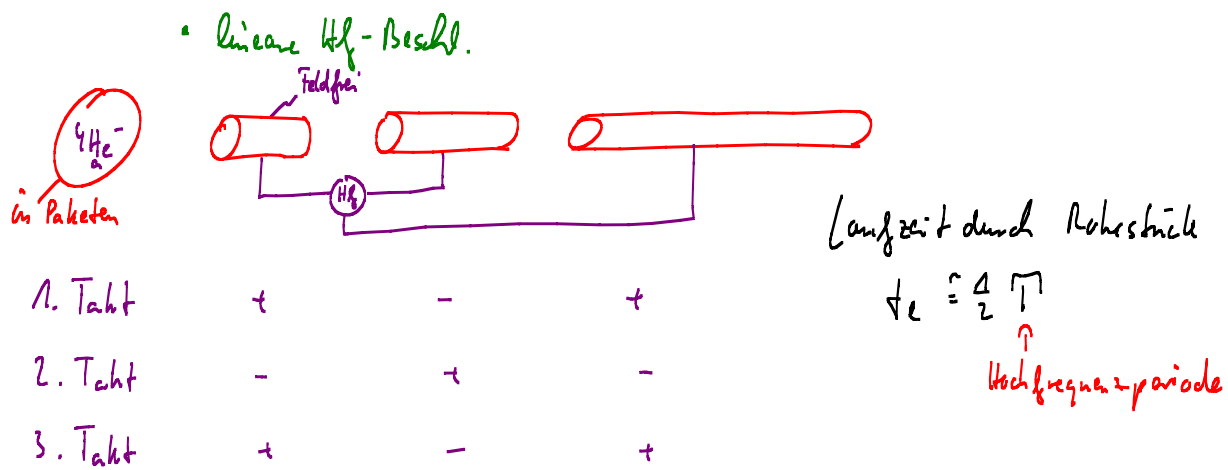
z.B. 7 Elektronen werden abgeschiebt

\hookrightarrow am Strippfolie $(^{16}\text{O}^{6+}) \rightarrow E_{\text{kin}}(^{16}\text{O}^{6+}) = 10\text{ MV} - 6 \cdot e + 10\text{ MeV} = 70\text{ MeV}$

- beliebig Ionen können beschleunigt werden

(b) Hochfrequenzbeschleuniger

Grundidee: Multiplikation einer kleinen Potentiendifferenz



Rohrstücke werden immer länger \rightarrow Wideroe-Prinzip

- Kreisbeschleuniger

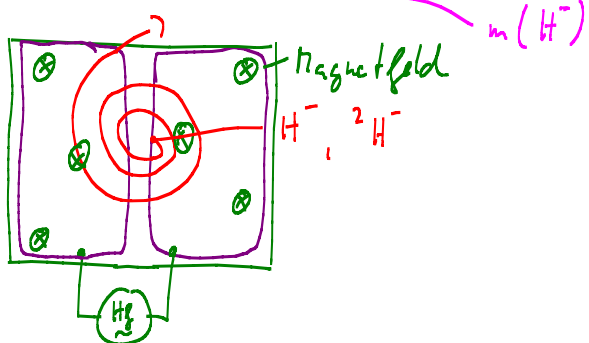
Bsp.: Zyklotron (Lawrence 1932)

geladenes Teilchen im Magnetfeld

\rightarrow Kreisbahn mit Kreisfrequenz ω

$$\frac{mv^2}{r} = evB \quad (\Rightarrow) \quad \frac{v}{r} = \omega = \frac{e}{m} B$$

unabhängig vom
Radius



5. Das Schalenmodell

- Masse \rightsquigarrow geschmeidige Abhängigkeit mit A, Z, N
- Radius $\rightsquigarrow r \approx 1,2 \text{ fm } A^{1/3}$

Abb. 5.1

Abweichungen von stetigen Verhalten: $Z = 50, 82, 20, 28, 8, 2$

$N = 50, 82, 126, 28, 20, 8, 2$

Abb. 5.2, 5.3, 5.4
5.5

Magische Zahlen: $2, 8, 20, 28, 50, 82, 126$

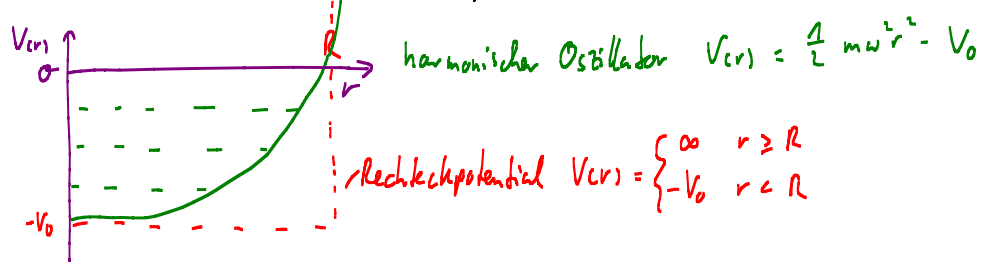
\rightsquigarrow „Schalen“ auch im Atomkern?

5.1 Das mittlere Kornpotential

Beim Atom: Elektronen bewegen sich im Coulombpotential des Atomkerns.

 Nukleonen (Protonen und Neutronen) bewegen sich in einem mittleren Potential, das durch die anderen Nukleonen geschaffen wird. "effektives Potential"

- Wie sieht dieses Potenzial aus?



→ Schrödinger-Gleichung einsetzen.

i) harm. Oszillator

$$E = h\omega (n + \frac{1}{2}) \quad n = 1, 2, 3, \dots \quad l = 0, 1, 2, \dots$$

n'	E_n	l	# m	# Nukleonen
0	$\frac{1}{2} h\omega$	0	1	2
1	$\frac{3}{2} h\omega$	1	3	6
2	$\frac{5}{2} h\omega$	0, 1	1+5=6	12
3	$\frac{7}{2} h\omega$	1, 2	3+7=10	20
4	$\frac{9}{2} h\omega$	0, 1, 2	15	30

äquidistant

$l=0 \quad m=0$

$l=1 \quad l_1 = m = -1, 0, 1$

$l=2 \quad m = -2, -1, 0, 1, 2$

70
40
20
8
2

2, 8, 18, 20, 28, 50

· 2 für Spin up ↑ oder Spin down ↓

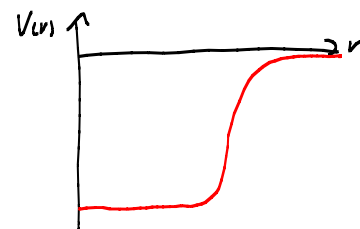
ii) Rechteckpotential

$$\rightarrow 2, 8, 18, 20, 34, 40, 58$$

iii) Woods-Saxon-Potenzial (Fermi-Potenzial)

$$V(r) = \frac{-V_0}{1 + \exp(\frac{r-R}{d})}$$

Abb. 5.6



S.2 Die Spin-Bahn-Wechselwirkung

1949: WW zwischen Spin s und Bahndrehimpuls ℓ der Nukleonen spielt wichtige Rolle
(Atom ≈ Feinstruktur)

Maria Goeppert-Mayer
Johannes Jensen

1963 Nobelpreis

$$V_{\text{Schalenmodell}}(r, \ell, s) = V_{\text{rs}} + V_{\text{es}}(\ell \cdot s)$$

$$V_{\text{sm}} = V_{\text{rs}} + \frac{1}{2} V_{\text{es}} \cdot \ell$$

$$V_{\text{sm}} = V_{\text{rs}} - \frac{1}{2} V_{\text{es}} \cdot (\ell + 1)$$

für $s = +1/2$
für $s = -1/2$

Einstände mit $j = l + \frac{1}{2}$ werden nach unten geschoben (kk spin stehen parallel)

" " $j = l - \frac{1}{2}$ " " oben "

Abb. S.7

$$\Delta E \propto (l + \frac{1}{2})$$

Aufspaltung Fermi-Potential mit Spin-Bahn					
l	0	1	2	3	4
	s	p	d	f	g

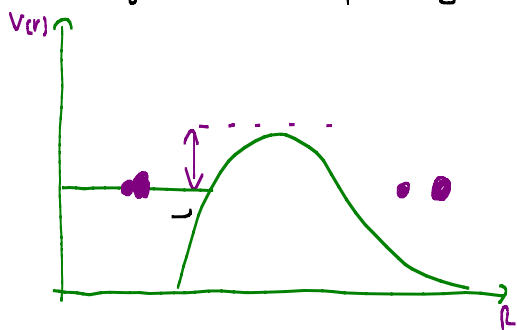
- Doppelmagische Kerne (N, Z magisch)

$^{40}_{\text{He}} \text{, } ^{16}_{\text{O}} \text{, } ^{40}_{\text{Ca}} \text{, } ^{48}_{\text{Ca}} \text{, } ^{208}_{\text{Pb}}$ (stabil)

$^{56}_{\text{Ni}}$, $^{100}_{\text{Sn}}$, $^{126}_{\text{X}}$ (superschwere Kerne) (unstabil)

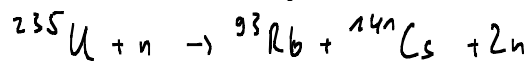
- Halbmagische Kerne (N oder Z magisch)

6. Energie aus Kernspaltung



① Spaltfragmente sind asymmetrisch

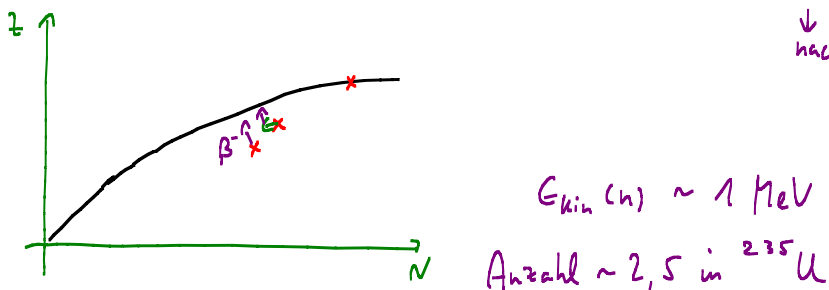
verkehrt um $\frac{1}{2}$. Typisch:



② Neutronenemission

Spaltfragmente sind sehr Neutronenreich, können Neutronen abdampfen \rightarrow 2-3 prompte Neutronen

↓ nach 10^{-20} sec



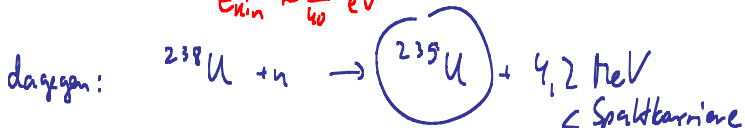
$E_{\text{kin}}(n) \sim 1 \text{ MeV}$

Anzahl $\sim 2,5$ in $^{235}_{\text{U}}$

Viele Neutronen kommen verzögert aus den Spaltprodukten verzögerte Neutronen - nach sec

③ Neutroneninduzierte Spaltung

Die Überwindung der Spaltbarriere benötigt Energie



④ Wirkungsquerschnitt für neutroneninduzierte Spaltung

- sehr hoch für thermische Neutronen ($\frac{1}{40} \text{ eV}$) an $^{235}_{\text{U}}$

② Kettenreaktion - Kritikalität

^{235}U ($n, \text{fission}$) entstehen im Mittel 2,47 Neutronen

→ Kettenreaktion möglich

In Realität: Neutronen - Reproduktionsfaktor k

$k < 1$: subkritisch, Kettenreaktion bricht ab.

$k = 1$: kritisch

$k > 1$: überkritisch, explosives Scenario (Zeitskala $\sim 1\text{ ms}$)

Natururan: 99,28% ^{238}U 0,72% ^{235}U

→ Man muss ^{235}U anreichern

Ultrazentrifugieren
Gasdiffusion

③ Kontrollierte Kernspaltung ($k=1$)

Neutronenergie zu hoch → Moderierung durch Stoße (mit mgl. gleich schwerem Partner)

→ $^1\text{H}_2$, $^2\text{H}_2$, C ⇒ • Wasser
• Kohlenstoff

- Wie kann man Kritikalität steuern?

- $k > 1 \rightarrow$ Temperatur steigt → Dichte von Wasser nimmt ab

↳ schlechte Moderation → k sinkt

(automatische Regelung, braucht aber Zeit)

- Stenarstäbe aus Bor, Cadmium, diese fangen mit (n,γ) -Reaktionen Neutronen ein. (zu langsam)

- Führt KKW nur mit verzögerten Neutronen ($t \sim 6\text{ sec}$) von $k < 1$ auf $k = 1$.

- Reaktor: Anreicherung ^{235}U : 2-3% (LKW)

Bombe erheblich mehr

manche 100% (HGW)

Siedewasser-/Druckwasser-KKW